

Разработка пакета расширения MLSY_SM СКМ Mathcad в проекционно-сеточных финитных базисах

В.В. Рыбин

Аннотация

В настоящее время для математических расчетов в процессе обучения применяются различные системы компьютерной математики (СКМ) и пакеты их расширения [4,8-14], которые предназначены для изучения спектральной формы математического описания систем управления. В работе [9] рассмотрена технология разработки пакетов расширения MLSY_SM СКМ Mathcad, Maple, Mathematica, Matlab, которые позволяют проводить анализ в спектральной области линейных нестационарных непрерывных, дискретных и непрерывно-дискретных систем управления, находящихся под воздействием детерминированных и случайных сигналов.

В данной статье рассмотрен пакет расширения MLSY_SM СКМ Mathcad в проекционно-сеточных финитных базисах и особенности его формирования. Демонстрируется его применение на примере решения задачи Коши. Он может быть использован для анализа и синтеза систем управления летательных аппаратов, которые являются важной составной частью ракетно-космических комплексов.

Ключевые слова

биортогональный финитный базис, нестационарные системы автоматического управления, спектральная форма математического описания, системы компьютерной математики.

Введение

Проектирование систем управления летательными аппаратами в настоящее время осуществляется с использованием современных компьютерных информационных технологий. Такие технологии реализованы в системах компьютерной математики (СКМ) Mathcad, Maple, Mathematica, Matlab. Основное ядро этих программных систем позволяет решать многие типовые задачи прикладной математики. Для решения задач из многих

прикладных областей, в частности имитационного моделирования систем управления, разработаны специализированные пакеты расширения этих программных систем. Однако они не охватывают всего спектра современных методов описания и анализа систем автоматического управления летательными аппаратами. В работах автора [4, 8-13] рассмотрены пакеты расширения MLSY_SM СКМ Mathcad, Maple, Mathematica, Matlab для расчета нестационарных непрерывных, дискретных и непрерывно-дискретных систем управления летательными аппаратами с сосредоточенными параметрами. Эти алгоритмы используют широкий спектр ортогональных и биортогональных базисных функций. Однако в этих пакетах не используются проекционно-сеточные финитные базисы, которые с большим успехом применяются для решения задач математической физики.

В данной статье рассмотрены проекционно-сеточные спектральные алгоритмы спектрального метода, пакет расширения MLSY_SM СКМ Mathcad в проекционно-сеточных финитных базисах и особенности его формирования для анализа систем управления разных классов. Демонстрируется его применение на модельных примерах. Он предназначен для анализа и синтеза систем управления летательных аппаратов, которые являются важной составной частью ракетно-космических комплексов.

1. Основные характеристики проекционно-сеточной спектральной формы описания непрерывных систем в биортонормированных финитных базисах

Для анализа и синтеза нестационарных непрерывных и, в общем случае, непрерывно-дискретных систем управления разработан спектральный метод расчета [1-3]. В основе этого метода лежит понятие нестационарной спектральной характеристики (НСХ), которая определяется через ортонормированные функции. Однако для описания и анализа указанных классов систем управления используются и биортонормированные функции [4]. Для решения задач математической физики часто используются проекционные и проекционно-сеточные алгоритмы [5-7]. Проекционно-сеточный подход можно применить для описания нестационарных систем управления в спектральной области, а пакет расширения спектрального метода MLSY_SM СКМ [4, 8-13] может быть пополнен проекционно-сеточными спектральными алгоритмами анализа нестационарных непрерывных систем управления.

Рассмотрим основные характеристики спектральной формы описания непрерывных систем в проекционно-сеточных финитных базисах на нестационарном отрезок $[0, t]$. На

этом отрезке введем сетку $\tau_l = lh, l = 0, 1, \dots, L-1, h = t/(L-1)$ и будем рассматривать базисные системы [5-7] в общем случае комплексных непрерывных функций $\varphi_i(h, \tau) \in L^2_{[0, t]}$, $L = 2, 3, 4, \dots$ с конечными носителями (финитные функции). Каждая из этих функций принадлежит области определения и области значений оператора линейной нестационарной системы управления, а последовательность подпространств V_h предельно плотна в гильбертовом пространстве $L^2_{[0, t]}$, где V_h линейная оболочка системы базисных функций. Пусть $\varphi_i(\theta) \in L^2$ и $\psi_i(\theta) \in L^2$ для всех i и $\{\varphi_i, \psi_i\}$ биортонормированная проекционно-сеточная система непрерывных финитных функций соответственно.

Описание детерминированных сигналов. Дадим определение проекционно-сеточной нестационарной спектральной характеристики.

Проекционно-сеточной нестационарной спектральной характеристикой (ПС НСХ) в общем случае комплексной функции x по биортонормированному базису $\{\varphi_i, \psi_i\}$ назовем функцию

$$X(i) = S_{\varphi(i)} \left[\varphi(i), x \right], \quad \left(X(i) = S_{\psi(i)} \left[\psi(i), x \right] \right), \quad (1.1)$$

где S - прямое проекционно-сеточное спектральное преобразование.

ПС НСХ X_{φ} и X_{ψ} будем называть *взаимно сопряженными*.

Обратный переход от ПС НСХ к функции $x(h, \tau) \in V_h$, определяется как скалярное произведение комплексно-сопряженного общего члена биортонормированной базисной системы $\varphi(i)$ или $\psi(i)$ на взаимно сопряженную ПС НСХ. Поэтому имеем:

$$S_{\psi^*}^{-1} \left[X(i) \right]_{\varphi} = x(h) = \left(\psi^*(i), X(i)_{\varphi} \right), \quad S_{\varphi^*}^{-1} \left[X(i) \right]_{\psi} = x(h) = \left(\varphi^*(i), X(i)_{\psi} \right), \quad (1.2)$$

где S^{-1} - обратное проекционно-сеточное спектральное преобразование, а $\left(\psi^*(i), X(i)_{\varphi} \right)$, $\left(\varphi^*(i), X(i)_{\psi} \right)$ - линейная комбинация элемента $x(h)$.

Формулы (1.1) (формулы прямого преобразования) принимают вид

$$S_{\varphi} \left[\tau \right]_{\varphi} X(i, h) = \int_0^t \varphi^*(i, h, \tau) x(\tau) d\tau, \quad (1.3)$$

$$S_{\psi} \left[\tau \right]_{\psi} X(i, h) = \int_0^t \psi^*(i, h, \tau) x(\tau) d\tau. \quad (1.4)$$

Формулы (1.2) (формулы обратного преобразования) принимают вид:

$$x(h, \tau) = \sum_{i=0}^{L-1} X(i, h) \varphi_i(h, \tau) = \sum_{i=0}^{L-1} X(i, h) \psi_i(h, \tau), \quad (1.5)$$

Из (1.1) – (1.4) находим связь между взаимно сопряженными ПС НСХ:

$$\underset{\psi}{X} = \underset{\psi \psi^*}{\Lambda} \underset{\varphi}{X}, \quad (1.6)$$

$$\underset{\varphi}{X} = \underset{\varphi \varphi^*}{\Lambda} \underset{\psi}{X}, \quad (1.7)$$

где

$$\underset{\psi \psi^*}{\Lambda}(j, i, h, h) = \int_0^t \gamma^*(j, h, \tau) \gamma(i, h, \tau) d\tau, \quad (1.8)$$

- проекционно-сеточная двумерная нестационарная характеристика связи (ПС ДНХС).

Заметим, что матрица ПС ДНХС $\underset{\psi \psi^*}{\Lambda}$ является обратной к матрице $\underset{\varphi \varphi^*}{\Lambda}$, т.е. $\underset{\psi \psi^*}{\Lambda} \cdot \underset{\varphi \varphi^*}{\Lambda} = \underset{\varphi \varphi^*}{\Lambda} \cdot \underset{\psi \psi^*}{\Lambda} = E$.

Из формул (1.3)-(1.5) видно, что каждый из двух базисов $\underset{\varphi}{\Phi}$, $\underset{\psi}{\Psi}$ можно использовать для разложения и восстановления сигнала. В дальнейшем будем считать, что $\underset{\varphi}{\Phi}$ - базис разложения, а $\underset{\psi}{\Psi}$ - базис восстановления сигнала.

В теории управления приходится оперировать не только функциями одного аргумента, но функциями многих аргументов. Рассмотрим здесь только проекционно-сеточную НСХ (ПС ДНХС) в базисе разложения (формулы прямого преобразования), которые представляет собой скалярное произведение общего члена базисной системы функций $\underset{\varphi \psi^*}{\Psi}$ и преобразуемой функции двух аргументов:

$$\underset{\psi \psi^*}{S} \left[\underset{\varphi \psi^*}{X}(j, i) \right] = \underset{\psi \psi^*}{\Psi}(j) \underset{\varphi \psi^*}{\Psi}^*(i), x \quad (1.9)$$

Для ПС ДНХС (2.12) формула обращения в базисе восстановления имеет вид:

$$\underset{\varphi \varphi^*}{S}^{-1} \left[\underset{\psi \psi^*}{X}(j, i) \right] = x(h) = \left(\underset{\varphi \varphi^*}{\varphi}^*(j) \underset{\varphi \varphi^*}{\varphi}(i), \underset{\psi \psi^*}{X}(j, i) \right). \quad (1.10)$$

Пусть $\theta, \tau \in [0, t]$. Тогда для функций двух переменных $x(\theta, \tau)$ ПС ДНХС (1.9) в базисе разложения и восстановления имеют вид

$$\underset{\psi \psi^*}{S} \left[\underset{\varphi \psi^*}{X}(\theta, \tau) \right] = \underset{\psi \psi^*}{X}(j, i, h, h) = \int_0^t \psi^*(j, h, \theta) \int_0^t \psi(i, h, \tau) x(\theta, \tau) d\tau d\theta, \quad (1.11)$$

$$\underset{\varphi \varphi^*}{S} \left[\underset{\varphi \psi^*}{X}(\theta, \tau) \right] = \underset{\varphi \varphi^*}{X}(j, i, h, h) = \int_0^t \varphi^*(j, h, \theta) \int_0^t \varphi(i, h, \tau) x(\theta, \tau) d\tau d\theta.$$

В теории управления приходится оперировать не только квадратично-интегрируемыми функциями времени, но и обобщенными функциями [2]. Покажем, как

можно распространить понятие ПС НСХ на обобщенные функции на примере дельта-функции, которую задают формулой

$$\int_{-\infty}^{\infty} \delta(\tau) \omega(\tau) d\tau = \omega(0), \quad (1.12)$$

где $\omega(\tau)$ - любая вещественная непрерывная функция, имеющая непрерывные производные всех порядков и компактный носитель. Такие функции называются *основными*.

Пусть основная функция $\omega(\tau) = 0$ вне отрезка $[0, t]$. Рассмотрим ее приближение:

$$\omega(h, \tau) = \sum_{i=0}^{L-1} \Omega_{\psi}(i, h) \varphi(i, h, \tau) \in V_L. \quad (1.13)$$

Из (1.12) и (1.13) имеем

$$\sum_i \Omega_{\psi}(i, ht) \Delta_{\varphi}^*(i, h) = \int_0^t \delta(\tau) \omega(h, \tau) d\tau = \omega(h, 0),$$

где

$$\Delta_{\varphi}(i, h) = \int_0^t \varphi^*(i, h, \tau) \delta(\tau) d\tau. \quad (1.14)$$

служит определением новой обобщенной функцией $\Delta_{\varphi}(i, h)$ в спектральной области, т.е. ПС НСХ дельта-функции, задаваемой на семействе функций $\Omega_{\psi}(i, h)$.

Описание случайных сигналов. Перейдем теперь к определению *проекционно-сеточных нестационарных спектральных плотностей* (ПС НСП), которые служат для описания в спектральной области случайного в общем случае нестационарного сигнала и являются аналогами моментных характеристик.

Первой ПС НСП ${}^1S_{\psi}(i)$ случайного в общем случае нестационарного сигнала x назовем ПС НСХ его математического ожидания m_x :

$${}^1S_{\psi}(i) = S_{\psi}[m_x] = \int_0^t \psi^*(i, h, \tau) m_x(\tau) d\tau, \quad (1.15)$$

Второй ПС НСП или просто ПС НСП $S_{\psi\psi^*}(j, i)$ случайного в общем случае нестационарного сигнала x назовем ПС ДНСХ его автоковариационной функции R_{xx} :

$$S_{\psi\psi^*}[R_{xx}] = S_{\psi\psi^*}(j, i, h, h) = \int_0^t \psi^*(j, h, \theta) \int_0^t \psi(i, h, \tau) R_{xx}(\theta, \tau) d\tau d\theta, \quad (1.16)$$

Нестационарной взаимной спектральной плотностью $S_x(j, i)$ случайных сигналов x и g назовем ПС ДНСХ взаимной ковариационной функции этих сигналов R_{xg} :

$$S_{xg}(j, i, h, h) = \int_0^t \psi^*(j, h, \theta) \int_0^t \psi(i, h, \tau) R_{xg}(\theta, \tau) d\tau d\theta. \quad (1.17)$$

Обратный переход от ПС НСП (1.15-1.17) к исходным характеристикам случайного сигнала m_x , R_{xx} , R_{xg} осуществляется по формулам обращения (1.5) и (1.10)

$$m_x(h) = S_{\varphi^*}^{-1} \left[S_x(i) \right] = \left(\varphi^*(i), S_x(i) \right), \quad R_{xx}(h) = S_{\varphi^* \varphi}^{-1} \left[S_x(j, i) \right] = \left(\varphi^*(j) \varphi(i), S_x(j, i) \right),$$

$$R_{xg}(h) = S_{\varphi^* \varphi}^{-1} \left[S_{xg}(j, i) \right] = \left(\varphi^*(j) \varphi(i), S_{xg}(j, i) \right). \quad (1.18)$$

Описание линейных непрерывных систем управления.

Основные понятия. В качестве основной динамической характеристики линейной непрерывной системы во временной области будем рассматривать *импульсную переходную функцию* (ИПФ), которая определяется как реакция системы на импульс, т.е. на входное воздействие вида дельта-функции Дирака. ИПФ непрерывной системы будем обозначать $k(\theta, \tau)$. Тогда во временной области на отрезке времени $[0, t]$ выходной сигнал x системы при нулевых начальных условиях может быть определен по входному сигналу g и ИПФ непрерывной системы в виде:

$$x(\theta) = \int_0^t k(\theta, \tau) g(\tau) d\tau. \quad (1.19)$$

Заметим, что ИПФ при фиксированном втором аргументе называется *нормальной импульсной реакцией*, поскольку она получается на выходе системы при подаче на вход импульса в фиксированный момент времени. ИПФ при фиксированном первом аргументе называется *сопряженной импульсной реакцией*, поскольку ее можно также трактовать как импульсную реакцию некоторой видоизмененной системы [2].

Дадим теперь определение *проекционно-сеточных нестационарных передаточных функций* (ПС НПФ) линейных одномерных непрерывных систем. Каждая из них описывается тремя связанными между собой ПС НПФ: нормальной (ПС ННПФ), сопряженной (ПС СНПФ), двумерной (ПС ДНПФ).

Проекционно-сеточной нестационарной нормальной передаточной функцией (ПС ННПФ) линейной системы назовем ПС НСХ ее нормальной импульсной реакции в базисе разложения, т.е.

$$N(j, h, \tau) = \int_0^t \psi^*(j, h, \theta) k(\theta, \tau) d\theta. \quad (1.20)$$

Проекционно-сеточной нестационарной сопряженной передаточной функцией (ПС СНПФ) линейной системы назовем комплексно-сопряженную ПС НСХ сопряженной импульсной реакции линейной системы в базисе восстановления, т.е.

$$H(i, h, \theta) = \int_0^t k(\theta, \tau) \varphi(i, h, \tau) d\tau. \quad (1.21)$$

Проекционно-сеточной двумерной нестационарной передаточной функцией (ПС ДНПФ) назовем ПС ДНСХ ее ИПФ в базисе $\{\psi_h, \varphi_i\}$, т.е. $W_{\psi\varphi}(j, i) = \psi(j)\varphi^*(i), k_{\psi\varphi}$, т.е.

$$W_{\psi\varphi}(j, i, h, h) = \int_0^t \psi^*(j, h, \theta) \int_0^t k(\theta, \tau) \varphi(i, h, \tau) d\tau d\theta. \quad (1.22)$$

Между таким образом определенными ПС НПФ и ПС НСХ от ИПФ существуют вполне закономерные связи. Остановимся здесь только на выводе связи между ПС ДНПФ и ПС ДНСХ для ИПФ непрерывной системы. Пусть

$$W_{\psi\varphi} = S_{\psi\varphi} \mathbf{I}^- \quad (1.23)$$

– ДНСХ ИПФ непрерывной системы. Тогда по формуле обращения ПС ДНСХ (1.10) имеем

$$k(h, \theta, \tau) = \sum_{\alpha} \sum_{\beta} \varphi(\alpha, h, \theta) W_{\psi\varphi}(\alpha, \beta, h, h) \varphi^*(\beta, h, \tau). \quad (1.24)$$

Подставляя выражение ИПФ в форме (1.24) в определение ДНПФ (1.22), получаем следующую связь:

$$W_{\psi\varphi}(h, i, h, h) = \sum_{\beta} W_{\psi\varphi}(h, \beta, h, h) \Lambda_{\varphi\varphi^*}(\beta, i, h, h), \quad (1.25)$$

где $\Lambda_{\varphi\varphi^*}(h, i, h, h)$ ДНХС между ДНПФ и ДНСХ искомой системы.

Соотношение (1.25) удобно записывать в матричной форме, т.е. в виде

$$W_{\psi\varphi} = W_{\psi\varphi} \Lambda_{\varphi\varphi^*}, \quad (1.26)$$

где матрица $\Lambda_{\varphi\varphi^*}$ определяется соотношением (1.8).

Заметим, что в практических расчетах часто используется ПС ДНСХ определенная только в базисе восстановления $W_{\varphi\varphi^*}$, которая связана с ПС ДНПФ системы управления $W_{\psi\varphi}$ соотношением, записанным в матричной форме

$$W_{\psi\varphi} = \Lambda_{\varphi\varphi^*}^{-1} \cdot W_{\varphi\varphi^*}. \quad (1.27)$$

Теперь, используя связи между ПС НПФ и ПС НСХ, можно записать формулы обращения ПС НПФ:

$$k(h, \theta, \tau) = \underset{\psi}{\Phi} \cdot \underset{\varphi}{N} = \underset{\varphi}{H} \cdot \underset{\psi}{\Psi^+} = \underset{\psi\varphi^*}{\Phi} \cdot \underset{\psi\varphi^*}{W} \cdot \underset{\psi\varphi^*}{\Psi^+}. \quad (1.28)$$

Формулы связи ПС ДНПФ линейной системы с ее ПС ННПФ и ПС СНПФ имеют вид:

$$\underset{\psi\varphi^*}{W} = (\underset{\varphi}{\Psi^+}, \underset{\varphi}{H}); \quad \underset{\psi\varphi^*}{W} = (\underset{\psi}{N}, \underset{\psi}{\Phi}); \quad \underset{\psi}{N} = \underset{\psi\varphi^*}{W} \underset{\psi\varphi^*}{\Psi^+}; \quad \underset{\varphi}{H} = \underset{\varphi}{\Phi} \underset{\psi\varphi^*}{W}. \quad (1.29)$$

В формулах (1.28) - (1.29) Ψ и Φ матрицы-строки, составленные из систем базисных функций $\underset{i=0}{\mathbb{D}^1}(h, i)$ и $\underset{i=0}{\mathbb{D}^1}(h, i)$, а через Ψ^+ обозначен комплексно-сопряженный столбец к Ψ .

ПС ДНПФ непрерывной системы представляется конечной квадратной матрицей размеров $L \times L$.

Условимся в дальнейшем индексы h в обозначениях базисных систем функций $\psi(j, h, \theta)$, $\varphi(i, h, \tau)$, ПС НСХ $X(i, h)$, ПС ДНСХ $X(j, i, h, h)$, ПС НСП $S_x(j, i, h, h)$, $S_{xg}(j, i, h, h)$, а также ПС ННПФ $N(j, h, \tau)$, ПС СНПФ $H(i, h, \theta)$, ПС ДНПФ $W(h, i, h, h)$ для упрощения обозначений опускать. Однако зависимость от h соответствующих выражений, в которые они входят, будет подразумеваться.

Элементарные звенья. В качестве элементарных звеньев непрерывных систем обычно рассматриваются интегрирующее, суммирующее, дифференцирующее первого и второго рода, непрерывные усилительные звенья с переменными коэффициентами передачи, непрерывное и дискретное звено чистого сдвига (запаздывания и упреждения).

ПС ДНПФ (1.22) этих звеньев имеют вид:

- ПС ДНПФ интегрирующего звена

$$\underset{\psi\varphi^*}{P}^{-1}(j, i) = \int_0^t \underset{\psi\varphi^*}{\psi}^*(j, \theta) \int_0^\theta \underset{\psi\varphi^*}{\varphi}(i, \tau) d\tau d\theta; \quad (1.30)$$

- ПС ДНПФ дифференцирующего звена первого рода

$$\underset{\psi\varphi^*}{P}(j, i) = \underset{\psi\varphi^*}{\nu}(j, i) + \underset{\psi\varphi^*}{\mathfrak{Z}}(j, i) \quad (1.31)$$

где $\nu(j, i) = \underset{\psi\varphi^*}{\psi}^*(j, 0)\underset{\psi\varphi^*}{\varphi}(i, 0)$ - ПС ДНПФ начальных значений, а

$\underset{\psi\varphi^*}{\mathfrak{Z}}(j, i) = \int_0^t \underset{\psi\varphi^*}{\psi}^*(j, \theta) \frac{d}{d\theta} \underset{\psi\varphi^*}{\varphi}(i, \theta) d\theta$ - ПС ДНПФ дифференцирующего звена второго рода;

- ПС ДНПФ усилительных звеньев:

$$\underset{\psi\varphi^*}{A}(j, i) = \int_0^t a(\theta) \underset{\psi\varphi^*}{\psi}^*(j, \theta) \underset{\psi\varphi^*}{\varphi}(i, \theta) d\theta, \quad (1.32)$$

- ПС ДНПФ звена чистого запаздывания ($\theta_0 > 0$):

$$\tau_{\psi\varphi^*}^{-\theta_0}(j,i) = \int_{\theta_0}^i \psi^*(j,\theta)\varphi(i,\theta-\theta_0)d\theta, \quad (1.33)$$

- ПС ДНПФ звена чистого упреждения ($\theta_0 < 0$):

$$\tau_{\psi\varphi^*}^{-\theta_0}(j,i) = \int_0^{i+\theta_0} \psi^*(j,\theta)\varphi(i,\theta-\theta_0)d\theta. \quad (1.34)$$

Типовые звенья. Среди всего многообразия типовых непрерывных звеньев выделим здесь только следующие звенья.

Последовательное соединение n дифференцирующих звеньев, имеет ПС ДНПФ

$$\left(P \right)_{\psi\varphi^*}^n = \left(P \right)_{\psi\varphi^*}^{n-1} \cdot P_{\psi\varphi^*}. \quad (1.35)$$

Заметим, что ПС ДНПФ последовательного соединения n дифференцирующих звеньев (1.35) не совпадает с ПС ДНПФ дифференцирующего звена n -го порядка [2].

Последовательное соединение n интегрирующих звеньев, имеет ПС ДНПФ

$$\left(P^{-1} \right)_{\psi\varphi^*}^n = \left(P^{-1} \right)_{\psi\varphi^*}^{n-1} \cdot P^{-1}_{\psi\varphi^*}. \quad (1.36)$$

Заметим, что ПС ДНПФ последовательного соединения n интегрирующих звеньев (1.36) не совпадает с ПС ДНПФ интегрирующего звена n -го порядка [2].

Типовые соединения звеньев. Получение ПС ДНПФ нестационарной непрерывно-дискретной системы связано с определением ПС ДНПФ линейных звеньев и их соединений (параллельного, последовательного и с обратной связью). ПС ДНПФ таких соединений рассчитываются по ПС ДНПФ звеньев их составляющих по формулам:

- для параллельного соединения

$$W = W_1 + W_2; \quad (1.37)$$

- для последовательного соединения

$$W = W_2 \cdot W_1; \quad (1.38)$$

- для соединения с обратной связью

$$W = [E + W_1W_2]^{-1}W_1 = W_1[E + W_2W_1]^{-1}. \quad (1.39)$$

Связи вход-выход по ПС ДНПФ искомой системы и заданным входным ПС НСХ и ПС НСП при нулевых начальных условиях устанавливаются соотношениями:

- для детерминированных сигналов

$$X_{\psi} = W_{\psi\varphi^*} \cdot G_{\psi}, \quad (1.40)$$

- для случайных сигналов:

по математическому ожиданию

$${}^1 S_x = W \cdot {}^1 S_g, \quad (1.41)$$

по корреляционной функции

$$S_x = W \cdot S_g \cdot W^T; \quad S_{xg} = W \cdot S_g. \quad (1.42)$$

Дифференциальные уравнения в спектральной области. Пусть поставлена задача Коши для системы управления, которая описывается дифференциальным уравнением с переменными коэффициентами

$$D(p, \theta)x(\theta) = M(p, \theta)g(\theta), \quad (1.43)$$

где

$$D(p, \theta) = a_n(\theta)p^n + a_{n-1}(\theta)p^{n-1} + \dots + a_0(\theta),$$

$$M(p, \theta) = b_m(\theta)p^m + b_{m-1}(\theta)p^{m-1} + \dots + b_0(\theta),$$

а ее выходные сигналы имеют ненулевые начальные условия

$$x^{(n-j)}(\theta)|_{\theta=0} = x_0^{(n-j)}; \quad j = 1, 2, \dots, n. \quad (1.44)$$

Тогда ее решение в спектральной области в матричной форме имеет вид

$$X = W \cdot G + \sum_{k=0}^{n-1} x_0^{(k)} W_{x_k} \cdot \Delta, \quad (1.45)$$

где

$$W_{x_k} = \left(\sum_{\alpha=0}^n A_\alpha \cdot e^{\alpha} \right)^{-1} \cdot \left(\sum_{\alpha=k+1}^n A_\alpha \cdot e^{\alpha-k-1} \right) \quad (1.46)$$

- матрица ПС ДНПФ начальных условий соответственно выходного $x(\theta)$ сигнала системы, которая описывается дифференциальным уравнением (1.43),

$$W = \left(\sum_{\alpha=0}^n A_\alpha \cdot \left(\frac{P}{\psi\varphi^*} \right)^\alpha \right)^{-1} \left[\sum_{\alpha=0}^m A_\alpha \cdot \left(\frac{P}{\psi\varphi^*} \right)^\alpha \right] \quad (1.47)$$

- ПС ДНПФ этой системы, а Δ - ПС НСХ дельта-функции Дирака.

Таким образом, ПС НСХ выходного сигнала непрерывной системы находится в общем случае по ПС НСХ входного сигнала G , начальным условиям выходного сигнала с помощью ПС ДНПФ системы W и ПС ДНПФ начальных условий W_{x_k} .

2. Разработка пакета расширения СКМ Mathcad анализа нестационарных линейных непрерывных систем управления в проекционно-сеточных финитных базисах на отрезке $[0, t]$

2.1. Пакет *MLSY_SM* СКМ Mathcad для проекционно-сеточных финитных базисов, его структура и способы работы с ним

В спектральной области всем рассмотренным элементарным операциям ставится в соответствие система элементарных алгоритмов. На базе этой системы строится система алгоритмов исследования.

В настоящее время разработано несколько версий пакета прикладных программ анализа и параметрического синтеза систем управления спектральным методом [4,8-13]. Одна из них создана на базе СКМ Mathcad, Maple, Mathematica, Matlab [9]. Эта версия включает в себя все элементарные операции спектрального метода и предназначена для моделирования линейных систем управления спектральным методом (MLSY_SM).

Модификация пакета прикладных программ MLSY_SM [9], созданного на базе СКМ Mathcad [14], за счет его пополнения процедурами элементарных операций в проекционно-сеточных базисах библиотеки NBF разделами SM_K0, SM_K1, SM_K2, SM_Ф1, SM_Ф2, SM_PSI1, SM_PSI2 и отражена в приложении 1.

Перейдем теперь к рассмотрению реализации элементарных операций в проекционно-сеточных базисах.

2.2. Некоторые финитные проекционно-сеточные базисные функции

Базисные сплайны с конечными носителями минимальной длины. Рассмотрим базисные сплайны с конечными носителями минимальной длины (**B - сплайны**), которые образуют базис конечномерного пространства размерности $L + p - 1$ сплайнов степени p дефекта 1 [5].

Все базисные сплайны степени p можно выразить через B-сплайн степени p

$$B_p(\tau) = B_{p-1}(\tau) * B_0(\tau) = \int_{-\infty}^{\infty} B_{p-1}(\nu) B_0(\tau - \nu) d\nu, \quad (2.1)$$

где

$$B_0(\tau) = \begin{cases} 1, & \tau \in [-1/2, 1/2], \\ 0, & \tau \notin [-1/2, 1/2], \end{cases} \quad (2.2)$$

а сам B-сплайн (2.1) есть полином степени p на каждом единичном отрезке отрезка $[-(p+1)/2, (p+1)/2]$ и равна 0 вне отрезка $[-(p+1)/2, (p+1)/2]$. Например, для $p = 1, 2$ они определяются формулами

$$B_1(\tau) = \begin{cases} \tau + 1, & \tau \in [-1, 0], \\ 1 - \tau, & \tau \in [0, 1], \\ 0, & \tau \notin [-1, 1]; \end{cases} \quad (2.3)$$

$$B_2(\tau) = \begin{cases} (1/2) \llbracket /2 + \tau \rceil, & \tau \in \llbracket 3/2, -1/2 \rceil, \\ 3/4 - \tau^2, & \tau \in \llbracket 1/2, 1/2 \rceil, \\ (1/2) \llbracket /2 - \tau \rceil, & \tau \in \llbracket /2, 3/2 \rceil, \\ 0, & \tau \notin \llbracket 3/2, 3/2 \rceil; \end{cases} \quad (2.4)$$

Все базисные системы функций, которые порождаются В-сплайнами порядка p (2.1) на отрезке $[0, t]$ и связанные с сеткой $\tau_j = jh$, имеют вид

$$Kp_j(h, \tau) = h^{-1/2} B_p(\tau/h - j), \quad (2.5)$$

где $h = t/(L-1)$ - постоянный шаг. Для $p \geq 2$ система базисных функций (2.5) не является ортогональной, так как матрица $\Lambda(h, h)$, элементы которой

$$\Lambda(j, i, h, h) = \int_0^t Kp_j(h, \tau) Kp_i(h, \tau) d\tau, \quad (2.6)$$

не является диагональной. Для базиса (2.5) можно построить двойственный базис Рисса

$$\tilde{K}p_j(h, \tau) = \sum_{i=0}^{L-1} \Lambda(j, i, h, h) Kp_i(h, \tau), \quad (2.7)$$

т.е. задать биортонормированный базис, который определяется условием

$$\llbracket p_h, \tilde{K}p_i \rceil = \delta_{h,i} = \int_0^t Kp_h(h, \tau) \tilde{K}p_i(h, \tau) d\tau. \quad (2.8)$$

Финитные ортогональные функции Леонтьева, порожденные базисными сплайнами. Рассмотренные В-сплайны степени p ($p \geq 1$) (2.1) порождают не только биортонормированный базис, но могут быть перестроены в L-сплайны (сплайны Леонтьева [6]), которые порождают при выполнении определенных условий ортонормированные базисы. Методика их построения рассмотрена в [6]. Она связана с выбором параметров порождающих функций (L-сплайнов) таким образом, чтобы полученные базисные системы функций Леонтьева стали ортогональными.

Например, симметричные L-сплайны первой степени, порождающие ортонормированные базисы, имеют вид

$$\Phi_1(\alpha, \Theta, \tau) = \begin{cases} 0, & \tau > 1, \\ \alpha(\tau - 1)/\Theta, & \tau \in [1 - \Theta, 1], \\ -(1 + 2\alpha)(\tau - 1/2)/(1 - 2\Theta) + 1/2, & \tau \in [\Theta, 1 - \Theta], \\ \alpha\tau/\Theta + 1, & \tau \in [0, \Theta], \\ \Phi_1(\alpha, \Theta, -\tau), & \tau < 0; \end{cases} \quad (2.9)$$

где $\alpha > 0, 0 < \Theta < 1/2$.

Любой симметричный L - сплайн степени p можно найти, используя свертку

$$\Phi_p(\alpha, \Theta, \tau) = \Phi_{p-1}(\alpha, \Theta, \tau) * B_0(\tau) = \int_{-\infty}^{\infty} \Phi_{p-1}(\alpha, \Theta, \nu) B_0(\tau - \nu) d\nu. \quad (2.10)$$

где

$$\Phi_0(\alpha, \Theta, \tau) = \begin{cases} -\alpha/\Theta, & \tau \in (-1/2, -1/2 + \Theta), \\ (1 + 2\alpha)/(1 - 2\Theta), & \tau \in [-1/2 + \Theta, 1/2 - \Theta], \\ -\alpha/\Theta, & \tau \in (1/2 - \Theta, 1/2), \\ 0, & \tau \notin (-1/2, 1/2), \end{cases} \quad (2.11)$$

а $B_0(\tau)$ B-сплайн (2.2).

Полученная в результате функция $\Phi_p(\alpha, \Theta, \tau)$ есть полином степени p на каждом единичном отрезке отрезка $[-(p+1)/2, (p+1)/2]$ и равна 0 вне отрезка $[-(p+1)/2, (p+1)/2]$.

Используя свертку (2.10), находим L - сплайн порядка $p = 2$. Он имеет вид

$$\begin{aligned} \Phi_2(\alpha, \Theta, \tau) = & \\ & \begin{cases} 0, & \tau > 3/2, \\ -\alpha(\tau - 3/2)^2 / (2\Theta), & \tau \in [3/2 - \Theta, 3/2], \\ (1 + 2\alpha)(\tau - 1)^2 / (2(1 - 2\Theta)) - (\tau - 1)/2 - (2\alpha + 2\Theta - 1)/8, & \tau \in [1/2 + \Theta, 3/2 - \Theta], \\ -\alpha(\tau - 1/2)^2 / (2\Theta) - (\tau - 1/2) + 1/2, & \tau \in [1/2, 1/2 - \Theta], \\ \alpha(\tau - 1/2)^2 / \Theta - (\tau - 1/2) + 1/2, & \tau \in [1/2 - \Theta, 1/2], \\ -(1 + 2\alpha)\tau^2 / (1 - 2\Theta) + (2\alpha + 2\Theta + 3)/4, & \tau \in [0, 1/2 - \Theta], \\ \Phi_2(\alpha, \Theta, -\tau), & \tau < 0. \end{cases} \end{aligned} \quad (2.12)$$

Все базисные функции, порождаемые симметричными L-сплайнами порядка p (2.10) на отрезке $[0, t]$ и связанные с сеткой $\tau_j = jh$, имеют вид

$$Jp_j(\alpha, \Theta, h, \tau) = h^{-1/2} \Phi_p(\alpha, \Theta, \tau/h - j), \quad (2.13)$$

где $h = t/(L-1)$ - постоянный шаг. Базисные функции $J1_j(\alpha, \Theta, h, \tau)$ удовлетворяют условию ортогональности $\langle J1_h, J1_i \rangle = 0$ на R при $h \neq i$, если

$$0 < \Theta = \Theta_1 < 1/2, \quad \alpha = \alpha_1 = -(1 + \Theta_1)/2 + \sqrt{(\Theta_1^2 - 2\Theta_1 + 3)/4}. \quad (2.14)$$

Например, в случае $\Theta = \Theta_1 = 1/4$ параметр α имеет значение $\alpha_1 = (\sqrt{41} - 5)/8$.

Базисные функции $J2_j(\alpha, \Theta, h, \tau)$ удовлетворяют условию ортогональности $\langle J2_j, J2_i \rangle = 0$ на R при $j \neq i$, если

$$\Theta = \Theta_2 = 3/4 - \left(\sqrt{C} + \sqrt{684/\sqrt{C} - C - 195} \right) / 12, \quad \alpha = \alpha_2 = -\Theta_2 + 3/(4(1 - \Theta_2)), \quad (2.15)$$

$$C = \sqrt[3]{62317 + 108\sqrt{112970}} + 1369 / \sqrt[3]{62317 + 108\sqrt{112970}} - 65,$$

но на отрезке $[0, t]$ это условие ортогональности нарушается при $j, i = 0, 1$ и $j, i = L - 2, L - 1$.

Заметим, что в случае $p > 2$ за счет выбора параметров α, Θ построить ортонормированные базисы (2.13) невозможно. Это возможно сделать введением в функцию Φ_0 (2.11) дополнительных параметров.

По аналогичной методике строятся несимметричные L-сплайны. Например, несимметричные L-сплайны первой степени, порождающие ортонормированные базисы, имеют вид

$$\Psi_1(\alpha, \Theta, \tau) = \begin{cases} 1 + \tau, & \tau \in [-1, -1 + \Theta] \cup [-\Theta, 0], \\ -\alpha + (\Theta + \alpha)(\tau + 1/2)/(\Theta - 1/2), & \tau \in [-1 + \Theta, -1/2], \\ -\alpha + (\Theta - \alpha - 1)(\tau + 1/2)/(\Theta - 1/2), & \tau \in [-1/2, \Theta], \\ 1 - \tau, & \tau \in [0, \Theta] \cup [1 - \Theta, 1], \\ 1 + \alpha - (\Theta + \alpha)(\tau - 1/2)/(\Theta - 1/2), & \tau \in [\Theta, 1/2], \\ 1 + \alpha - (\Theta - \alpha - 1)(\tau - 1/2)/(\Theta - 1/2), & \tau \in [1/2, 1 - \Theta] \\ 0, & \tau \notin [-1, 1], \end{cases} \quad (2.16)$$

где $\alpha > 0, 0 < \Theta < 1/2$.

Несимметричные L-сплайны p степени определяются сверткой

$$\Psi_p(\alpha, \Theta, \tau) = \Psi_{p-1}(\alpha, \Theta, \tau) * B_0(\tau) = \int_{-\infty}^{\infty} \Psi_{p-1}(\alpha, \Theta, \nu) B_0(\tau - \nu) d\nu. \quad (2.17)$$

где $B_0(\tau)$ B-сплайн (2.2).

Все базисные функции, порождаемые несимметричными L-сплайнами первого порядка на отрезке $[0, t]$ и связанные с сеткой $\tau_j = jh$, имеют вид

$$Dp_j(\alpha, \Theta, h, \tau) = h^{-1/2} \Psi_p(\alpha, \Theta, \tau/h - j), \quad (2.18)$$

где $h = t/(L - 1)$ - постоянный шаг. Базисные функции $Dl_i(\alpha, \Theta, h, \tau)$ удовлетворяют условию ортогональности $\langle Dl_h, Dl_i \rangle = 0$ на отрезке $[0, t]$ при $h \neq i$, если

$$0 < \Theta = \Theta_1 < 1/2, \quad \alpha = \alpha_1 = -1/2 \pm 1/\sqrt{2(1 - 2\Theta_1)}. \quad (2.19)$$

Например, в случае $\Theta = \Theta_1 = 1/4$ параметр α имеет значение $\alpha_1 = 1/2$.

Базисные функции $D2_i(\alpha, \Theta, h, \tau)$ удовлетворяют условию ортогональности $\langle D2_h, D2_i \rangle = 0$ на R при $h \neq i$, если $\Theta = 5/14, \alpha = 3$, но на отрезке $[0, t]$ это условие ортогональности нарушается при $h, i = 0, 1$ и $h, i = L-2, L-1$.

Заметим, что в случае $p > 2$ за счет выбора параметров α, Θ построить ортонормированные базисы (1.24) на R невозможно. Это возможно сделать введением в функцию Ψ_1 (1.24) дополнительных параметров.

2.3. Примеры разработки программных модулей пакета *MLSY_SM* элементарных операций ПС спектрального метода в финитных базисах

Пример 2.1. Разработать программный модуль, реализующий вычисление ПС ДНХС в проекционно-сеточном кусочно-линейном базисе (1.12).

Решение задачи. Матрицу ПС ДНХС (1.8) порядка L в проекционно-сеточном кусочно-линейном базисе можно вычислить аналитически и представить в виде:

$$\Lambda(j, i) = \frac{1}{6} \cdot \begin{cases} 2, & \text{если } j = i = 0 \text{ или } j = i = L - 1; \\ 1, & \text{если } i = j + 1, j = 0, 1, \dots, L - 2; \\ 1, & \text{если } j = i + 1, i = 0, 1, \dots, L - 2; \\ 4, & \text{если } j = i = 1, 2, \dots, L - 1. \end{cases} \quad (2.20)$$

- 1) Составляем программный модуль вычисления ПС ДНХС в проекционно-сеточном кусочно-линейном базисе на интервале работы системы управления $[0, t]$.

```
SXCK1K11(L) :=
  c0,0 ← 2
  for h ∈ 0..L-2
    ch,h+1 ← 1
    ch+1,h+1 ← 4
    ch+1,h ← 1
  cL-1,L-1 ← 2
  d ← c/6
  d
```

Рис.2.1.

- 2) Вычисляем ПС ДНХС при $L=5$.

$$SXCK1K11(L) \cdot 6 = \begin{pmatrix} 2 & 1 & 0 & 0 & 0 \\ 1 & 4 & 1 & 0 & 0 \\ 0 & 1 & 4 & 1 & 0 \\ 0 & 0 & 1 & 4 & 1 \\ 0 & 0 & 0 & 1 & 2 \end{pmatrix}$$

Рис.2.2.

Пример 2.2. Требуется разработать программный модуль, реализующий вычисление ПС НСХ аналитически заданной функции $x(\tau) \in [0, t]$ в проекционно-сеточном кусочно-линейном базисе (базис восстановления).

Решение задачи. Вычислительные схемы, основанные на квадратурных правилах наивысшей алгебраической степени точности, реализующие вычисление НСХ в базисах классических ортогональных полиномов рассмотрены в [9]. Для нашей задачи выбираем квадратурную формулу Гаусса. Учитывая, что квадратурная формула для вычисления интеграла по методу Гаусса на произвольном отрезке $[a, b]$ может быть представлена в виде

$$\int_a^b x(\tau) d\tau = \frac{b-a}{2} \int_{-1}^1 x\left(\frac{b-a}{2}(\tau+1) + a\right) d\tau = \frac{b-a}{2} \sum_{n=0}^{N-1} \omega_n x\left(\frac{b-a}{2}(\alpha_n + 1) + a\right), \quad (2.21)$$

где N – количество используемых стандартизированных значений нулей α_n и весов ω_n квадратурного алгоритма Гаусса на отрезке $[-1, 1]$, которые в программной реализации задаются следующими векторами:

$$\omega_1 := \begin{pmatrix} 0.0812743884 \\ 0.1806481607 \\ 0.2606106964 \\ 0.3123470770 \\ 0.3302393550 \\ 0.3123470770 \\ 0.2606106964 \\ 0.1806481607 \\ 0.0812743884 \end{pmatrix} \quad \alpha_1 := \begin{pmatrix} -0.968160239 \\ -0.836031107 \\ -0.613371433 \\ -0.324253423 \\ 0 \\ 0.324253423 \\ 0.613371433 \\ 0.836031107 \\ 0.968160239 \end{pmatrix}$$

Рис.2.3.

Учитывая квадратурного алгоритма Гаусса (2.21), формулу ПС НСХ (1.2) в проекционно-сеточном кусочно-линейном базисе преобразуем к виду

$$X \approx \frac{1}{2} \sqrt{\frac{t}{L-1}} \sum_{k=0}^{L-2} \sum_{n=0}^{N-1} \omega_n x\left(\frac{t}{L-1} \tau_{n,k}\right) K1(\tau_{n,k} - j), \quad (2.22)$$

где $\tau_{n,k} = \left[\frac{k+1+\alpha_n}{2} \right] t$.

- 1) Составляем программный модуль вычисления ПС НСХ в проекционно-сеточном кусочно-линейном базисе на интервале работы системы управления $[0, t]$ для аналитически заданной функции по численной схеме (2.22).

```

SNXK1K11(g,L,t) :=
:=
  ω ← ω1
  α ← α1
  for k ∈ 0..L-2
    for n ∈ 0..8
      τn,k ← (2 · k + 1 + αn) / 2
      gln+9,k ← g(τn,k · t / (L-1))
      for i ∈ 0..L-1 if L ≥ 2
        Pln+9,k,i ← K1(τn,k - i)
    for h ∈ 0..L-1
      for k ∈ 0..L-2
        Xln+9,k,h ← ∑n=08 ωn · gln+9,k · Pln+9,k,h
      Xh ← ∑k=0L-2 Xln+9,k,h
  X ← 1/2 · √(t/(L-1)) · X
  X

```

Рис.2.4.

1) Вычисляем ПС НСХ функции $g(\tau)$ при $L=8$ и $t=1$.

```

t := 1    L := 8    g(τ) := τ    GB := SNXK1K11(g,L,t)
GBT = ( 0.009  0.054  0.108  0.162  0.216  0.27  0.324  0.18 )

```

Рис.2.5.

Пример 2.3. Разработать программный модуль, реализующий вычисление ПС ДНСХ усилительного звена по аналитически заданной функции $a(\tau) \in [0, t]$ в проекционно-сеточном кусочно-линейном базисе (базисе восстановления).

Решение задачи. Для разрабатываемого программного модуля опять используем квадратурную формулу Гаусса (2.21). Тогда ПС ДНСХ усилительного звена (1.32) в проекционно-сеточном кусочно-линейном базисе (базисе восстановления) может быть представлена в виде

$$A_{(i,j)} = \frac{1}{2} \sum_{k=0}^{L-2} \sum_{n=0}^{N-1} \omega_n a\left(\frac{t}{L-1} \tau_{n,k}\right) K1(\tau_{n,k} - j) K1(\tau_{n,k} - i), \quad (2.23)$$

- 1) Составляем программный модуль вычисления ПС ДНСХ в проекционно-сеточном кусочно-линейном базисе (базисе восстановления) на интервале работы системы управления $[0, t]$ для аналитически заданной функции по численной схеме (2.23).

```

SYZK1K11(a,L,t) :=
:=
 $\omega \leftarrow \omega_1$ 
 $\alpha \leftarrow \alpha_1$ 
for k  $\in$  0..L-2
  for n  $\in$  0..8
     $\tau_{n,k} \leftarrow \frac{(2 \cdot k + 1 + \alpha_n)}{2}$ 
     $a_{n+9k} \leftarrow a\left(\tau_{n,k} \cdot \frac{t}{L-1}\right)$ 
    for i  $\in$  0..L-1 if L  $\geq$  2
       $P_{n+9k,i} \leftarrow K1(\tau_{n,k} - i)$ 
  for h  $\in$  0..L-1
    for i  $\in$  0..L-1
       $A_{h,i} \leftarrow \sum_{k=0}^{L-2} \sum_{n=0}^8 \frac{\omega_n}{2} \cdot a_{n+9k} \cdot P_{n+9k,h} \cdot P_{n+9k,i}$ 
A

```

Рис.2.6.

- 2) Вычисляем в базисе восстановления ПС ДНСХ усилительного звена с коэффициентом передачи $a(\tau) = 48 \cdot \tau$ при $L=5$ и $t=1$.

```

t := 1  L := 5  a( $\tau$ ) := 48  $\cdot$   $\tau$ 
AB := SYZK1K11(a,L,t)
AB =  $\begin{pmatrix} 1 & 1 & 0 & 0 & 0 \\ 1 & 8 & 3 & 0 & 0 \\ 0 & 3 & 16 & 5 & 0 \\ 0 & 0 & 5 & 24 & 7 \\ 0 & 0 & 0 & 7 & 15 \end{pmatrix}$ 

```

Рис.2.7.

Пример 2.4. Разработать программный модуль, реализующий вычисление ПС ДНСХ интегрирующего звена в проекционно-сеточном кусочно-линейном базисе (базисе восстановления).

Решение задачи. Вычислим ПС ДНСХ интегрирующего звена (1.30) в проекционно-сеточном кусочно-линейном базисе (базисе восстановления) в аналитическом виде.

- 1) Составляем программный модуль вычисления ПС ДНСХ интегрирующего звена в проекционно-сеточном кусочно-линейном базисе (базисе восстановления) на интервале работы системы управления $[0, t]$ по полученной численной схеме.

```

SI1K1K12(L,t) :=
  for i ∈ 0..L-1
    for h ∈ i..L-1
      ch,i ← 24
    ci,i ← 12
    cL-1,i ← 12
  for h ∈ 0..L-2
    ch,h+1 ← 1
    ch+1,h ← 23
  c0,0 ← 9
  cL-1,L-1 ← 3
  cL-1,L-2 ← 11
  c1 ←  $\frac{t \cdot c}{(L-1) \cdot 24}$ 
  c1

```

Рис.2.8.

- 2) Вычисляем ПС ДНСХ интегрирующего звена при $L=4$ и $t=1$.

$$\begin{array}{l}
 t := 1 \quad L := 4 \\
 SI1K1K12(L,t) \cdot \frac{(L-1) \cdot 24}{t} = \begin{pmatrix} 9 & 1 & 0 & 0 \\ 23 & 12 & 1 & 0 \\ 24 & 23 & 12 & 1 \\ 12 & 12 & 11 & 3 \end{pmatrix}
 \end{array}$$

Рис.2.9.

Пример 2.5. Разработать программный модуль, реализующий вычисление матрицы ПС ДНСХ дифференцирующего звена (1.31) в проекционно-сеточном кусочно-линейном базисе (базисе восстановления) (2.5).

Решение задачи. Вычислим ПС ДНСХ дифференцирующего звена в проекционно-сеточном кусочно-линейном базисе (базисе восстановления) в аналитическом виде.

- 1) Составляем программный модуль вычисления ПС ДНСХ интегрирующего звена в проекционно-сеточном кусочно-линейном базисе (базисе восстановления) на интервале работы системы управления $[0, t]$ по полученной численной схеме.

```

SP1K1K11(t,L) := for h ∈ 0..L-2
                  |
                  |   ch,h+1 ← 1
                  |   ch+1,h ← -ch,h+1
                  |
                  |   c0,0 ← 1
                  |   cL-1,L-1 ← 1
                  |   d ←  $\frac{L-1}{2 \cdot t} \cdot c$ 
                  |   d

```

Рис.2.10.

2) Вычисляем матрицу ПС ДНСХ дифференцирующего звена при L=5 и t=1.

$$\begin{array}{l}
 L := 4 \quad t := 1 \\
 \text{SP1K1K11}(t,L) \cdot \frac{2 \cdot (L-1)}{9 \cdot t} \rightarrow
 \end{array}
 \begin{pmatrix}
 1 & 1 & 0 & 0 \\
 -1 & 0 & 1 & 0 \\
 0 & -1 & 0 & 1 \\
 0 & 0 & -1 & 1
 \end{pmatrix}$$

Рис.2.11.

3) Вычисляем матрицу обратную к ПС ДНСХ дифференцирующего звена при L=5 и t=1.

$$\begin{array}{l}
 L := 4 \quad t := 1 \\
 \text{SP1K1K11}(t,L)^{-1} \cdot \frac{(L-1)}{t} \rightarrow
 \end{array}
 \begin{pmatrix}
 1 & -1 & 1 & -1 \\
 1 & 1 & -1 & 1 \\
 1 & 1 & 1 & -1 \\
 1 & 1 & 1 & 1
 \end{pmatrix}$$

Рис.2.12.

Заметим, что матрица обратная к ПС ДНСХ дифференцирующего звена может рассматриваться как матрица ПС ДНСХ интегрирующего звена, но отличная от той матрицы которая была рассмотрена в предыдущем примере (см. рис.2.9). Программный модуль, реализующий вычисление такой ПС ДНСХ интегрирующего звена показан на рис.2.13.

```

SIP1K1K11(t,L) := for j ∈ 0..L-1
                  |
                  |   for q ∈ 0..L-1
                  |   |
                  |   |   i ← j + q
                  |   |   |
                  |   |   |   mj,i ← 1 if i ≤ L-1
                  |   |   |   mi,j ← (-1)j+i · mj,i if i ≤ L-1
                  |   |
                  |   |
                  |   |   m1 ←  $\frac{t \cdot m^T}{L-1}$ 
                  |   |
                  |   |   m1

```

Рис.2.13.

Приведенные примеры демонстрируют методику получения численных схем и их программную реализацию в проекционно-сеточном кусочно-линейном базисе (базисе

восстановления) в рамках структуры пакета расширения MLSY_SM СКМ Mathcad. Аналогично разрабатываются и другие программные модули как в проекционно-сеточном кусочно-линейном базисе, так и в других финитных базисах.

2.4. Примеры применения пакета расширения MLSY_SM СКМ Mathcad в проекционно-сеточных базисах для анализа системы управления

Пример 2.6. Нужно найти реакции нестационарной системы управления с дифференциальным уравнением

$$4\ddot{x} + a(\theta)\dot{x} + x = g(\theta) \quad (2.24)$$

с коэффициентом

$$a(\theta) = \cos(50\pi\theta/t) + 4 \cdot 1(\theta - t/2) \quad (2.25)$$

на воздействие $g(\theta) = \sin(5\pi\theta/t)$ соответственно при нулевых начальных условиях: при $x_0 = 0$, $x_0^{(1)} = 1$; при $x_0 = 1$, $x_0^{(1)} = 0$.

Задачу решить проекционно-сеточным спектральным методом. Результаты решения сравнить с результатами вычисления реакций путем численного интегрирования дифференциального уравнения (2.24) методом Рунге – Кутта.

Решение ищем в виде

$$x(\theta) = \sum_{i=0}^{L-1} X_{\psi}(i)\varphi(i, \theta), \quad (2.26)$$

где X_{ψ} - ПС НСХ в базисе разложения, а $\varphi(i, \theta)$ некоторый финитный базис (2.5), (2.13), (2.18).

X_{ψ} найдем, решая уравнение (2.24) в спектральной области. Это решение имеет вид:

$$X_{\psi} = W_{\psi} \cdot G_{\psi} + x_0 W_{\psi, x_0} \Delta_{\psi} + x_0^{(1)} W_{\psi, x_1} \Delta_{\psi} = W_{\psi} \cdot \Lambda_{\psi}^{-1} \cdot G_{\psi} + x_0 W_{\psi, x_0} \Lambda_{\psi}^{-1} \Delta_{\psi} + x_0^{(1)} W_{\psi, x_1} \cdot \Lambda_{\psi}^{-1} \cdot \Delta_{\psi}, \quad (2.27)$$

где:

$$W_{\psi} = \left[4 \cdot \left(P_{\psi} \right)^2 + A_{\psi} \cdot P_{\psi} + E \right]^{-1} = \left[4 \cdot P_{\psi} \cdot \Lambda_{\psi}^{-1} \cdot P_{\psi} + A_{\psi} \cdot \Lambda_{\psi}^{-1} \cdot P_{\psi} + \Lambda_{\psi} \right]^{-1} \cdot \Lambda_{\psi} \quad (2.28)$$

- ПС ДНПФ системы;

$$W_{\psi, x_0} = W_{\psi} \cdot \left[4 \cdot \left(P_{\psi} \right)^2 + A_{\psi} \cdot P_{\psi} \right] \quad (2.29)$$

и

$$W_{\psi, x_1} = 4 \cdot W_{\psi} \quad (2.30)$$

- передаточные функции начальных условий; G_{ψ} и G_{ψ} - ПС НСХ входного сигнала в базисах восстановления и разложения; P_{ψ} - ПС ДНСХ дифференцирующего звена в базисе восстановления, P_{ψ} - ПС ДНПФ дифференцирующего звена; A_{ψ} - ПС ДНПФ усилительного

звена с коэффициентом передачи (2.25), а A ПС ДНСХ усилительного звена в базе восстановления.; Λ - ПС ДНХС.

Листинг 2.1. Решение задачи в СКМ Mathcad в проекционно-сеточном кусочно-линейном базисе (2.5).

```

t := 12    L := 8    L1 := 40

g|τ| := sin( (5·π·τ) / t )    a|τ| := cos( (50·π·τ) / t ) + ( Φ( τ - t/2 ) ) · 4

B := SXCK1K1(L) G1 := SNXK1K1(g, L, t)    NB := SNBK1K1(L1, L, t)

Π := SΠK1K1(t, L)    P1 := SP1K1K1(t, L)    A := SYZK1K1(a, L, t)

W := ( 4·P1·B-1·P1 + A·B-1·P1 + B )-1
W0 := W·(4·P1 + A)·B-1    W1 := 4·W
i := 0..L-1    Δi,0 := NB0,i    < - ПС НСХ дельта функции
    в базисе восстановления.

X := W·G1    < - ПС НСХ выходного сигнала при нулевы
    начальных условиях в базисе разложения

X1 := X + W0·Δ    < - ПС НСХ выходного сигнала при не
    нулевых начальных условиях в базисе
    разложения.

X2 := X + W1·Δ

Решение ДУ спектральным методом при заданных начальных
условиях, найденное обращением НСХ

gX := NB·X    gX1 := NB·X1    gX2 := NB·X2

```

Решение ДУ методом Рунге-Кутты при заданных начальных условиях.

```

y ≡ ( 0 )
    ( 0 )    D|θ, y| := ( y1
    ( 0 )    ( g|θ| / 4 - a|θ| / 4 · y1 - y0 / 4 )

y1 ≡ ( 1 )
    ( 0 )    D|θ, y1| := ( y1
    ( 0 )    ( g|θ| / 4 - a|θ| / 4 · y1 - y10 / 4 )

y2 ≡ ( 0 )
    ( 1 )    D|θ, y2| := ( y2
    ( 1 )    ( g|θ| / 4 - a|θ| / 4 · y2 - y20 / 4 )

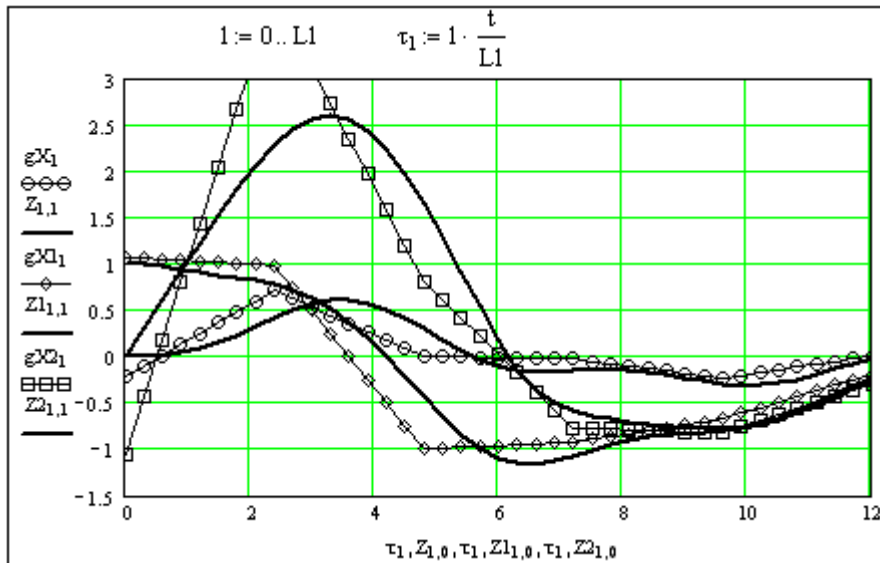
Z := rkfixed(y, 0, t, L1, D)    Z1 := rkfixed(y1, 0, t, L1, D)

Z2 := rkfixed(y2, 0, t, L1, D)

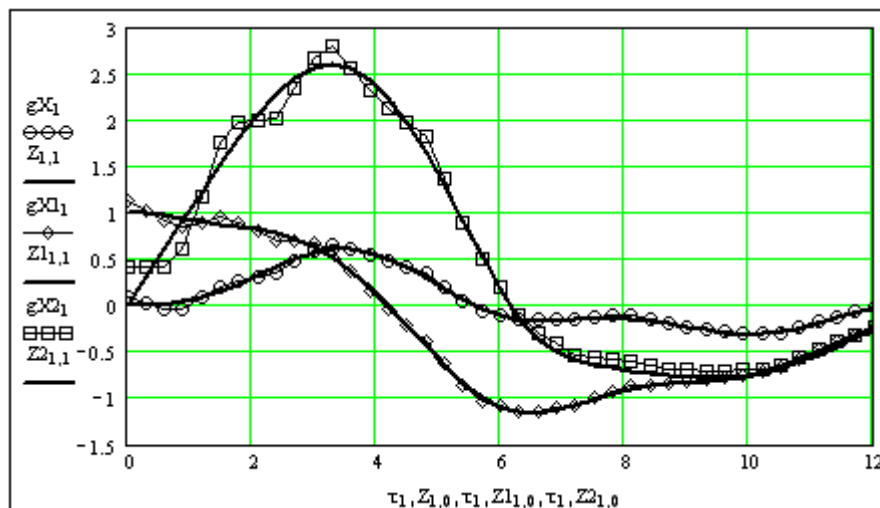
```

Коней листинга 2.1.

Результаты решения задачи представлены на рис. 2.14: на рис. 2.14 а) при $L=6$, на рис. 2.14 б) при $L=16$. Сравнивая результаты расчетов, найденные разными способами при разных значениях L замечаем, что при $L=6$ найденные приближения отличаются от найденных по методу Рунге-Кутты, а при $L=16$ найденные приближения практически совпадают с найденных по методу Рунге-Кутты. Кроме того на рис. 2.14 в) приведены результаты решения данной задачи не только найденные по методу Рунге-Кутты и в базисе линейных В-сплайнов, но и в базисах квадратичных В-сплайнов (2.5) и L-сплайнов (2.13).



а)



б)

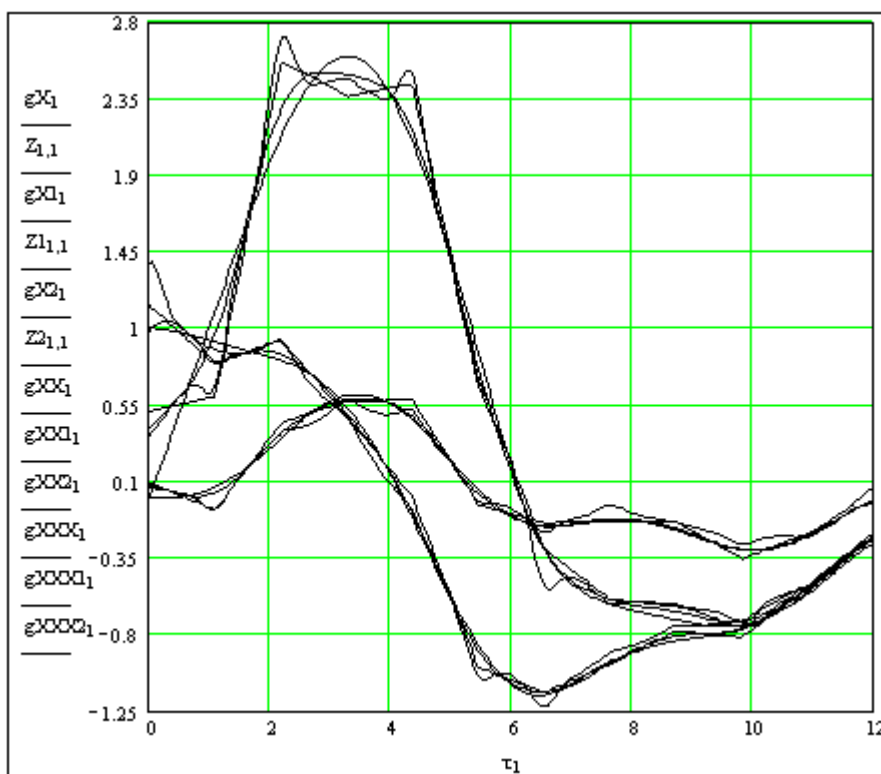


Рис. 2.14.

Пример 2.7. Нужно найти свободное движение системы управления с дифференциальным уравнением

$$\frac{\partial^2 u(\tau, x)}{\partial \tau^2} + 2 \frac{\partial^2 u(\tau, x)}{\partial \tau \partial x} + \frac{\partial u(\tau, x)}{\partial \tau} = g(\tau, x) \quad (2.31)$$

при начальных условиях

$$u(0, x) = 0, \quad \frac{\partial u(0, x)}{\partial \tau} = -x - 2 \quad (2.32)$$

и граничных условиях типа Коши

$$u(\tau, 0) = -2\tau e^{-\tau} \quad (2.33)$$

где $\tau \in [0, 1]$, $x \in [0, 1]$.

Задачу решить проекционно-сеточным спектральным методом. Результаты решения сравнить с точным решением

$$u(t, x) = (x - 2t)e^{-t} - x. \quad (2.34)$$

Решение ищем в виде

$$u(\tau, x) = \sum_{j=0}^{L_1-1} \sum_{i=0}^{L_2-1} U_{\psi_1 \psi_2^*}(j, i) \varphi_1(j, \tau) \varphi_2^*(i, x), \quad (2.35)$$

где $U_{\psi_1 \psi_2^*}$ - ПС ДНСХ в базисах разложения, а φ_1 и φ_2 некоторые финитные базисы восстановления (2.5), (2.13), (2.18).

$X_{\psi_1 \psi_2^*}$ найдем, решая задачу (2.31)-(2.33) в спектральной области, т.е. решая матричное уравнение

$$\left(\begin{matrix} P \\ \psi_1 \phi_1^* \end{matrix} \right)^2 U + \begin{matrix} P & U & P^+ \\ \psi_1 \psi_2^* & \psi_1 \phi_1^* & \psi_1 \psi_2^* \psi_2 \phi_2^* \end{matrix} + \begin{matrix} P & U \\ \psi_1 \phi_1^* & \psi_1 \psi_2^* \end{matrix} = \Delta S^+ \left(\frac{\partial u(0, x)}{\partial \tau} \right) + 2 \begin{matrix} P & S \\ \psi_1 \phi_1^* & \psi_1 \end{matrix} \mathbb{C}(\tau, 0) \Big|_{\psi_2}^+ \quad (2.36)$$

Такие матричные уравнения можно записать в спектральной области, используя понятия тензорного произведения и табличного представления многомерных матриц [16], в виде

$$\left(\left(\begin{matrix} P \\ \psi_1 \phi_1^* \end{matrix} \right)^2 \otimes E + \begin{matrix} P & P \\ \psi_1 \phi_1^* & \psi_2 \phi_2^* \end{matrix} + \begin{matrix} P & E \\ \psi_1 \phi_1^* & \psi_1 \psi_2^* \end{matrix} \right) U_{\psi_1 \psi_2^*}(2, 0) = K_{\psi_1 \psi_2^*}(2, 0), \quad (2.37)$$

где $U_{\psi_1 \psi_2^*}(2, 0)$ и $K_{\psi_1 \psi_2^*}(2, 0)$ - гиперстрочные матрицы образованные из матриц $U_{\psi_1 \psi_2^*}$,

$$\Delta S^+ \left(\frac{\partial u(0, x)}{\partial \tau} \right) + 2 \begin{matrix} P & S \\ \psi_1 \phi_1^* & \psi_1 \end{matrix} \mathbb{C}(\tau, 0) \Big|_{\psi_2}^+.$$

Решая уравнение (2.37), находим $U_{\psi_1 \psi_2^*}(2, 0)$. Выполняя преобразование гиперстрочной матрицы в прямоугольную, находим $U_{\psi_1 \psi_2^*}$. Обращая $U_{\psi_1 \psi_2^*}$ по формуле (2.35) находим решение задачи (2.31)-(2.33).

Листинг 2.2. Решение задачи в СКМ Mathcad в проекционно-сеточном кусочно-линейном базисе (2.13).

```

N1 := 10    t := 1    L1 := 4
u(t, x) := (x - 2 · t) · e-t - x    <- точное решение задачи.
g1(x) := -x - 2    g2(t) := -2 · t · e-t    <- начальные и краевые условия.
E := identity(N1)    SNX1 := SNXФ1Ф11(g1, N1, t)    SNX2 := SNXФ1Ф11(g2, N1, t)
P1 := SP1Ф1Ф11(t, N1)    NB := SNBФ1Ф11(L1, N1, t)
W22 := P(P12, E) + 2 · P(P1, P1) + P(P1, E)    <- гиперквадратная матрица ПС ДНПФ ДУ.
                                                Здесь P(A, B) - программа вычисления
                                                тензорного произведения матриц A и B.
i := 0.. N1 - 1    Δi,0 := NB0,i    <- ПС НСХ дельта-функции в нулевой точке.

SNXNK := Δ · SNX1T + 2 · P1 · SNX2 · ΔT    <- ПС ДНСХ начальных и краевых значений.
K20 := FC(SNXNK)    <- гиперстолбцовая матрица ПС ДНСХ K(2,0) начальных
                                                и краевых значений. Здесь FC(A) - программа вычисления
                                                гиперстолбцовой матрицы по матрице A.
U20 := W22-1 · K20    <- гиперстолбцовая матрица ПС ДНСХ U(2,0) решения задачи.
U := FM(U20)    <- матрица ПС ДНСХ решения задачи u(t, x). Здесь FM(A) - программа
                                                вычисления матрицы по ее гиперстолбцовому представлению.
ur := NB · U · NBT    <- решение задачи найденное спектральным методом.

```

$$u_p = \begin{pmatrix} -0.049 & -0.026 & -0.012 & -0.012 & -0.014 \\ -0.333 & -0.375 & -0.439 & -0.495 & -0.529 \\ -0.604 & -0.683 & -0.799 & -0.917 & -0.999 \\ -0.721 & -0.832 & -0.993 & -1.153 & -1.264 \\ -0.736 & -0.862 & -1.048 & -1.234 & -1.362 \end{pmatrix} \cdot$$

Коней листинга 2.2.

Результаты сравнивались с точным решением (2.34). Погрешность вычисления не хуже 1%.

Приложение 1. Описание процедур элементарных операций спектрального метода в проекционно-сеточных финитных базисах

1. Идентификаторы проекционно-сеточных базисных функций

Введем для проекционно-сеточных базисных функций (2.5) следующие идентификаторы:

$K0$ ($KK0$) - кусочно-постоянные базисные функции восстановления (разложения).

$K1$ ($KK1$) - кусочно-постоянные базисные функции восстановления (разложения).

$K2$ ($KK2$) - кусочно-квадратичных базисные функции восстановления (разложения).

Введем для проекционно-сеточных базисных функций (2.13) следующие идентификаторы:

$\Phi1$ - кусочно-линейные базисные функции.

$\Phi2$ ($\Phi\Phi2$) - кусочно-квадратичные базисные функции восстановления (разложения).

Введем для проекционно-сеточных базисных функций (2.18) следующие идентификаторы:

$\Psi1$ - кусочно-линейные базисные функции.

$\Psi2$ ($\Psi\Psi2$) - кусочно-квадратичные базисные функции восстановления (разложения).

2. Описание процедур (элементарных операций спектрального метода) и их формальных параметров

1) $SNB_{l1}(L1, L, t)$ - вычисляется матрица-строка L непрерывных ПС БФ на отрезке $[0, t]$ на системе тактовых точек $(l-1)t/L1$, где $l=1, \dots, L1+1$. Результат представляется матрицей порядка $L1 \times L$.

2) $SNX_{l1}(g, L, t)$ - вычисляется ПС НСХ порядка L на отрезке $[0, t]$ по аналитически заданной функции $g(x)$.

3) $SNC_{l1}(R, L, t)$ - вычисляется матрица ПС НСП порядка $L \times L$ на отрезке $[0, t]$ по аналитически заданной корреляционной функции $R(x, y)$.

4) $SI1(t, L)$ - вычисляется матрица ПС ДНПФ интегрирующего звена порядка $L \times L$ на отрезке $[0, t]$.

5) $SP1(t, L)$ - вычисляется матрица ПС ДНПФ дифференцирующего звена порядка $L \times L$ на отрезке $[0, t]$.

6) $SIP1(t, L)$ - вычисляется матрица ПС ДНПФ интегрирующего звена, найденная обращением ПС ДНПФ дифференцирующего звена порядка $L \times L$ на отрезке $[0, t]$.

7) $SM1(t, L)$ - вычисляется матрица ПС ДНПФ звена начальных значений порядка $L \times L$ на отрезке $[0, t]$.

8) $SAP(N1, T, k, t)$ - вычисляется матрица ПС ДНПФ апериодического звена порядка $N1 \times N1$ на отрезке $[0, t]$. T - постоянная времени апериодического звена. k - коэффициент усиления апериодического звена.

9) $SKO(N1, T, k1, k, t)$ - вычисляется матрица ПС ДНПФ апериодического звена порядка $N1 \times N1$ на отрезке $[0, t]$. T - постоянная времени колебательного звена. k - коэффициент усиления колебательного звена. $k1$ - коэффициент демпфирования колебательного звена.

10) $SCD(N1, T1, t)$ - вычисляется матрица ПС ДНПФ звена чистого сдвига порядка $N1 \times N1$ на отрезке $[0, t]$. $T1$ - величина чистого сдвига: если $T1 > 0$, то $T1$ - величина запаздывания, если $T1 < 0$, то $T1$ - величина упреждения.

11) $SYZ(a, N1, t)$ - вычисляется матрица ПС ДНПФ усилительного звена порядка $N1 \times N1$ на отрезке $[0, t]$ по аналитически заданному коэффициенту усиления $a(x)$.

12) $SXC(L)$ - вычисляется матрица ПС ДНХС порядка $L \times L$ на отрезке $[0, t]$.

Заметим, что идентификатор $\langle \rangle$ в имени процедуры должен быть заменен комбинацией имен базисных систем функций, т.е.

$\langle \rangle = \langle K0K0 | K1K1 | K2K2 | \Phi1\Phi1 | \Phi2\Phi2 | \Psi1\Psi1 | \Psi2\Psi2 \rangle$ или

$\langle \rangle = \langle KK1K1 | KK2K2 | \Phi\Phi2\Phi2 | \Psi\Psi2\Psi2 \rangle$.

Библиографический список

1. Солодовников В.В. и др. Расчет систем управления на ЦВМ. – М.: Машиностроение, 1979.
2. Солодовников В. В., Семенов В. В. Спектральная теория нестационарных систем управления. М., Наука, 1974.

3. Семенов В.В., Рыбин В.В. Алгоритмическое и программное обеспечение расчета нестационарных непрерывно-дискретных систем управления ЛА спектральным методом: Учебное пособие. –М.: МАИ, 1984.
4. Рыбин В.В. Разработка пакета расширения MLSY_SM СКМ Mathcad в биортогональных вейвлет-базисах // Электронный журнал “Труды МАИ”- 2009, № 33. – <http://www.mai.ru>
5. Завьялов Ю.С., Квасов Б.И., Мирошниченко В.Л. Методы сплайн функций. М.: Наука, 1980.. – 350 с.
6. Леонтьев В.Л. Ортогональные финитные функции, смешанные вариационные принципы в численных методах. Диссертация на соискание ученой степени доктора физико-математических наук. – Ульяновский Государственный Университет. Ульяновск, 2002.
7. Марчук Г.И., Агошков В.И. Введение в проекционно-сеточные методы. – М.: Наука. 1981. – 416 с.
8. Рыбин В.В. Описание сигналов и линейных нестационарных непрерывных систем управления в базисах вейвлетов. // Электронный журнал “Труды МАИ”-2003, № 10.
9. Рыбин В.В. Разработка и применение пакетов расширения MLSY_SM СКМ Mathcad, Maple, Mathematica, Matlab.// Электронный журнал “Труды МАИ”- 2003, № 13.
10. Рыбин В.В. Разработка и применение пакета расширения Spektr_SM СКМ Matlab.// Электронный журнал “Труды МАИ”- 2003, № 13.
11. Рыбин В.В. Описание сигналов и линейных нестационарных непрерывных систем управления в базисах вейвлетов и их анализ в вычислительных средах: Учебное пособие. – М.: МАИ, 2003. – 96 с.
12. Рыбин В.В. Разработка пакета расширения MLSY_SM СКМ Mathcad в базисах Добеши М-го порядка // Электронный журнал “Труды МАИ”- 2009, № 33. – <http://www.mai.ru>
13. Нестационарные системы автоматического управления: анализ, синтез и оптимизация / Под ред. К.А. Пупкова и Н.Д. Егупова. – М.: Издательство МГТУ им. Н.Э. Баумана, 2007. – 632с.
14. Матричные методы расчета и проектирования сложных систем автоматического управления для инженеров/ Под ред. К.А. Пупкова и Н.Д. Егупова. – М.: Издательство МГТУ им. Н.Э. Баумана, 2007. – 664 с.
15. Дьяконов В.П. MathCAD 2001: Специальный справочник. – СПб.: Питер, 2002. - 345с.

16. Пантелеев А.В., Рыбаков К.А., Сотскова И.Л. Спектральный метод анализа нелинейных стохастических систем управления – М.: Вузовская книга, 2006.. – 392 с.

Сведения об авторах

Рыбин Владимир Васильевич, доцент Московского авиационного института (государственного технического университета), телефон: +7 499 158-48-11, E-mail:dep805@mai.ru